



Laboratorium EMVO Sp. J. Urbański, Pawelak
ul. Jasna 1
00-013 Warszawa

tel. +48 22 780 29 64
e-mail: laboratorium@emvo.pl



AB 1630

Sprawozdanie z pomiarów pól elektromagnetycznych - środowisko nr 67/08/OŚ/2023- P4-W



| | | |
|--------------------------|---|---------------------------------|
| Nr i nazwa stacji | KIE1013A | |
| Adres | Kielce, J. Hauke-Bosaka 2a, pow. Kielce, woj. świętokrzyskie | |
| Opracowanie | Justyna Karczmarczyk | Specjalista ds. pomiarów |
| Autoryzacja | Andrzej Urbański | Kierownik Laboratorium |
| Podpis | | |
| Data | 2023-08-31 | |

Spis treści

| | |
|---|---|
| 1. Informacje ogólne..... | 3 |
| 2. Podstawa prawna. | 3 |
| 3. Opis pomiarów..... | 3 |
| 4. Zróżnicowanie dopuszczalne poziomy pól elektromagnetycznych..... | 5 |
| 5. Charakterystyka źródeł PEM..... | 6 |
| 6. Wyniki pomiarów..... | 6 |
| 7. Stwierdzenie zgodności | 6 |
| 8. Oświadczenie..... | 8 |
| 9. Spis załączników. | 8 |

1. Informacje ogólne.

| | |
|---|---|
| Zleceniodawca | P4 sp. z o.o., ul. Wynałazek 1, 02-677 Warszawa osoba udzielająca informacji- Monika Bieroza |
| Istotne informacje dostarczone przez klienta | komplet informacji niezbędnych do wykonania pomiarów i opracowania sprawozdania |
| Dane otrzymane od klienta mogące mieć wpływ na ważność wyników | Dane anten sektorowych, dane anten radioliniowych, parametry pracy instalacji, ustawienie pochylenia anten |
| Prowadzący instalację | P4 sp. z o.o., ul. Wynałazek 1, 02-677 Warszawa |
| Lokalizacja obiektu | Kielce, J. Hauke-Bosaka 2a, pow. Kielce, woj. świętokrzyskie |
| Miejsce instalacji anten | Komin |
| Miejsce instalacji urządzeń | outdoor |
| Osoby wykonujące pomiar | Jarosław Buząła |
| Data wykonania pomiaru | 31.08.2023; 25.08.2023 |
| Temperatura na początku pomiaru [°C] | 17,0(31.08.2023); 24(25.08.2023) |
| Temperatura na koniec pomiaru [°C] | 19,0(31.08.2023); 23(25.08.2023) |
| Warunki atmosferyczne | Brak opadów |
| Wilgotność na początku pomiaru [%] | 45,0(31.08.2023); 45,0(25.08.2023) |
| Wilgotność na koniec pomiaru [%] | 48,0(31.08.2023); 45,0(25.08.2023) |
| Godzina na początku pomiaru | 9:45(31.08.2023); 12:08(25.08.2023) |
| Godzina na koniec pomiaru | 11:01(31.08.2023); 13:57(25.08.2023) |
| Inne źródła pól elektromagnetycznych oznaczone na załączniku graficznym | Występują |
| Parametry pracy instalacji | Tryb eksploatacyjny |

2. Podstawa prawna.

2.1 Normy i rozporządzenia:

- Obwieszczenie Ministra Klimatu i Środowiska z dnia 21 listopada 2022 r. w sprawie ogłoszenia jednolitego tekstu rozporządzenia Ministra Klimatu w sprawie sposobów sprawdzania dotrzymania dopuszczalnych poziomów pól elektromagnetycznych w środowisku (Dz.U. 2022 poz. 2630)
- Rozporządzenie Ministra Zdrowia z dnia 17 grudnia 2019 r. w sprawie dopuszczalnych poziomów pól elektromagnetycznych w środowisku (Dz.U. 2019 poz. 2448)
- Obwieszczenie Marszałka Sejmu Rzeczypospolitej Polskiej z dnia 1 grudnia 2022 r. w sprawie ogłoszenia jednolitego tekstu ustawy - Prawo ochrony środowiska (Dz.U. 2022 poz. 2556).

3. Opis pomiarów

| | |
|--------------------------|---|
| Metodologia pomiarowa | Pomiary w oparciu o Rozporządzenie Ministra Klimatu z dnia 17 lutego 2020 r. w sprawie sposobów sprawdzania dotrzymania dopuszczalnych poziomów pól elektromagnetycznych w środowisku (Dz.U. 2022 poz. 2630). |
| Cel badań | Określenie wartości natężenia pola elektrycznego w miejscach dostępnych dla ludności. |
| Opis zestawu pomiarowego | Miernik Narda NBM 520, Sonda EF 9091, o zakresie pomiarowym 0,7 V/m - 300V/m pracująca w paśmie 0,1 – 90 GHz, świadectwo wydane przez Laboratorium Wzorców i Metrologii Pola Elektromagnetycznego, Instytut Telekomunikacji, Teleinformatyki i Akustyki Politechniki Wrocławskiej. Świadectwo ważne do 27.06.2025, numer świadectwa: LWIMP/W/265/23. Miernik Narda NBM 520, Sonda EF 9091 pracująca w zakresie temperatury -10°C - +50°C oraz wilgotności 5% - 95%. Niepewność rozszerzona wynosi 55,2% przy poziomie ufności 95% z uwzględnieniem współczynnika rozszerzenia k=2. |
| Wyposażenie pomocnicze | Termohigrometr Termoprodukt, typ: Termik+, Nr. inwentarzowy 37/WL, nr identyfikacyjny 700618, świadectwo wzorcowania nr 1763/AH/19 z dn. 29.07.2019 r. wydane przez Laboratorium Pomiarowe "MUTECH". Przymiar wstępowy STABILA, Nr. inwentarzowy 36/WL, nr identyfikacyjny 31WL, świadectwo wzorcowania nr 6W1/1826/19 z dn. 02.08.2019 r. wydane przez Dyrektora Okręgowego Urzędu Miar w Gdańsku. GPS Garmin 64s okresowo sprawdzany w punktach osnowy geodezyjnej klasy 3 na podstawie licencji punktu, zgodnie z procedurą sprawdzeń okresowych IS/PO16-11/03. |
| Pomiary zostały wykonane | <ol style="list-style-type: none">1. na głównych i pomocniczych kierunkach pomiarowych, na kierunkach zbliżonych do azymutów anten oraz w dodatkowych pionach pomiarowych zgodnie z wymaganiami pkt 12, 13, 14 i 19 Rozporządzenia Ministra Klimatu z dnia 17 lutego 2020 r. (Dz.U. 2022 poz. 2630). Wybór i lokalizacja pionów pomiarowych, w tym znajdujących się wewnątrz lokali, zostały ustalone zgodnie z procedurą laboratorium nr PP-7.3/7.4/7.5-11, z uwzględnieniem: rodzaju badanej instalacji (w tym parametrów technicznych instalacji), lokalizacji badanej instalacji, ukształtowania terenu wokół badanej instalacji.2. na obszarze pomiarowym, dla którego, na podstawie uprzednio przeprowadzonych obliczeń stwierdzono w miejscach dostępnych dla ludności występowanie pól elektromagnetycznych o najwyższym poziomie, które pochodzą z badanej instalacji zgodnie z wymaganiami pkt 5 ppkt 2 oraz pkt 13 ppkt 1 Rozporządzenia Ministra Klimatu z dnia 17 lutego 2020 r. w sprawie sposobów sprawdzania dotrzymania dopuszczalnych poziomów pól elektromagnetycznych w środowisku (Dz.U. 2022 poz. 2630). Wyniki obliczeń nie uwzględniały parametrów pracy instalacji innych operatorów występujących na obiekcie bądź w obszarze pomiarowym.3. w miejscach dostępnych dla ludności.4. miejsca niedostępne podczas wykonywania pomiarów wskazane zostały w pkt 6 (tabeli wyniki pomiarów)5. w dodatkowych pionach pomiarowych w lokalach oraz na balkonach i tarasach, na których mogą przebywać ludzie, po poinformowaniu o planowanych pomiarach z minimum 3-dniowym wyprzedzeniem i po umożliwieniu dostępu do lokalu, balkonu lub tarasu przez jego |

dysponenta lub bez zachowania terminu wskazanego w pierwszej części zdania za zgodą dysponenta przestrzeni pomiarowej.

Sposób powiadamiania dysponentów

Zgodnie z pkt 14 Rozporządzenia Ministra Klimatu z dnia 17 lutego 2020 r. w sprawie sposobów sprawdzania dotrzymania dopuszczalnych poziomów pól elektromagnetycznych w środowisku (Dz.U. 2022 poz. 2630). poinformowano dysponentów lokali o planowanych pomiarach.

Informacji dokonano między innymi poprzez:

1. bloki mieszkalne – zawiadomienie spółdzielni mieszkaniowej, zarządcy nieruchomości, zarządu wspólnoty, umieszczenie informacji o planowanych pomiarach na tablicach ogłoszeń w klatkach schodowych bloków lub na drzwiach wejściowych,
2. biurowce, budynki użyteczności publicznej itp. - przekazanie zawiadomienia do administracji lub recepcji obiektu,
3. domy jednorodzinne, szeregowce itp.- pozostawienie informacji w skrynkach pocztowych itp. lub przekazanie osobiste.

Warunki pracy urządzeń nadawczych

Tryb pracy eksploatacyjny.

4. Zróżnicowanie dopuszczalne poziomy pól elektromagnetycznych.

Zakresy znajdują się w Dzienniku Ustaw z dnia 17 grudnia 2019 r. przedstawione są w tabeli nr 2 (Dz. U. z 2019r. poz. 2448).

| Parametr fizyczny Zakres Częstotliwości pola elektromagnetycznego | Składowa elektryczna E (V/m) | Składowa magnetyczna H (A/m) | Gęstość mocy S (W/m ²) |
|--|---------------------------------|---------------------------------|---------------------------------------|
| od 400 MHz do 2000 MHz | $1,375 \times f^{0,5}$ | $0,0037 \times f^{0,5}$ | f / 200 |
| od 2 GHz do 300 GHz | 61 | 0,16 | 10 |

5. Charakterystyka źródeł PEM.

Zgodnie z informacją otrzymaną od Klienta pomiary zostały wykonane przy ustawieniach pochylenia anten zgodnych z pkt. 13, ppkt 2 Rozporządzenia Ministra Klimatu z dnia 17 lutego 2020 roku.

Tabela 1. Anteny sektorowe - dane otrzymane od klienta

| Charakterystyka promieniowania | | kierunkowa | | | | | | | | | | | | | | | | | |
|---------------------------------|---|-------------------|--------|---------|------------------|----------|---------|------------------|---------|----------|------------------|---------|---------|------------------|---------|---------|------------------|--|--|
| Rzeczywisty czas pracy [h/dobę] | | 24 | | | | | | | | | | | | | | | | | |
| Rodzaj wytwarzanego pola | | stacjonarne | | | | | | | | | | | | | | | | | |
| Lp | Wyszczególnienie | sektor 1 | | | | sektor 2 | | | | sektor 3 | | | | | | | | | |
| Nadajnik stacji bazowej: | | | | | | | | | | | | | | | | | | | |
| 1 | Typ / Producent | DBS / SRAN Huawei | | | | | | | | | | | | | | | | | |
| 2 | Częstotliwość (pasmo) MHz | 900 | 800 | 2600 | 2100 | 1800 | 900 | 800 | 2600 | 2100 | 1800 | 900 | 800 | 2600 | 2100 | 1800 | | | |
| 3 | Maksymalna moc nadawana na sektor [dBm] | 47,78 | 49,03 | 49,03 | 50,79 | 50,79 | 47,78 | 49,03 | 49,03 | 50,79 | 50,79 | 47,78 | 49,03 | 49,03 | 50,79 | 50,79 | | | |
| Obciążenie: | | | | | | | | | | | | | | | | | | | |
| 1 | Typ anteny | Huawei ADU4516R6 | | | Huawei ADU4521R0 | | | Huawei ADU4516R6 | | | Huawei ADU4521R0 | | | Huawei ADU4516R6 | | | Huawei ADU4521R0 | | |
| 2 | Producent anteny | Huawei | | | Huawei | | | Huawei | | | Huawei | | | Huawei | | | Huawei | | |
| 3 | Nazwa anteny | 12_G TV | 12_GTV | 11_HL N | 11_HL N | 11_HL N | 22_GT V | 22_GT V | 21_HL N | 21_HL N | 21_HL N | 32_GT V | 32_GT V | 31_HL N | 31_HL N | 31_HL N | | | |
| 4 | Ilość anten | 1 | | | 1 | | | 1 | | | 1 | | | 1 | | | 1 | | |
| 5 | Azymut | 0 | | | | | | 110 | | | | | | 220 | | | | | |
| 6 | Zakres kątów pochylenia anten [°] | 0-10 | 0-10 | 0-6 | 0-6 | 0-6 | 0-10 | 0-10 | 0-6 | 0-6 | 0-6 | 0-10 | 0-10 | 0-6 | 0-6 | 0-6 | | | |
| 7 | Wysokość zainst. n.p.t. [m] | 29,50 | | | 56,20 | | | 56,20 | | | | | | 29,50 | | | 56,20 | | |
| 8 | EIRP [W] | 5302 | | | 35686 | | | 5302 | | | 35686 | | | 5302 | | | 35686 | | |

Tabela 2. Anteny radioliniowe- dane otrzymane od klienta

| Charakterystyka promieniowania | | kierunkowa | | | | | | | | | | | | | |
|---------------------------------|------------------|---------------------------|---------------------|-----------------|---------------------|------------|------------------------|--|--|--|--|--|--|--|--|
| Rzeczywisty czas pracy [h/dobę] | | 24 | | | | | | | | | | | | | |
| Rodzaj wytwarzanego pola | | stacjonarne | | | | | | | | | | | | | |
| Lp | Linia radiowa | | | Antena | | | | | | | | | | | |
| | typ/producent | częstotliwość pracy [GHz] | moc wyjściowa [dBm] | typ/producent | średnica anteny [m] | azymut [°] | wysokość zainstal. [m] | | | | | | | | |
| 1 | OPTIX RTN/HUAWEI | 80 | 18 | VHLP2-80/Andrew | 0,6 | 267 | 56,70 | | | | | | | | |

6. Wyniki pomiarów.

Wyniki pomiarów pól elektromagnetycznych dla celów ochrony środowiska przedstawia poniższa tabela. Piony pomiarowe zostały przedstawione w zał. 2.

| Nr PP | Pole-E [V/m] | Pole-E, +U [V/m] | Pole-H [A/m] | Pole-H +U [A/m] | Wys. pomiaru [m] | Opis pionu | Uwagi | WM _E | WM _H |
|-------|--------------|------------------|--------------|-----------------|------------------|--------------------------------|---|-----------------|-----------------|
| 1 | 0,9 | 1,40 | 0,002 | 0,004 | 0,3-2,0 | N:50°50'53,0" E:20°38'51,1" | otoczenie stacji bazowej - 50m wzdłuż gł. osi promieniowania - GKP | 0,050 | 0,051 |
| 2 | 0,9 | 1,40 | 0,002 | 0,004 | 0,3-2,0 | N:50°50'56,2" E:20°38'51,0" | otoczenie stacji bazowej - 150m wzdłuż gł. osi promieniowania - GKP | 0,050 | 0,051 |
| 3 | 0,8 | 1,24 | 0,002 | 0,003 | 0,3-2,0 | N:50°50'59,4" E:20°38'51,4" | otoczenie stacji bazowej - 250m wzdłuż gł. osi promieniowania - GKP | 0,044 | 0,045 |
| 4 | 0,9 | 1,40 | 0,002 | 0,004 | 0,3-2,0 | N:50°51'00,4" E:20°38'51,4" | otoczenie stacji bazowej - 280m wzdłuż gł. osi promieniowania - GKP | 0,050 | 0,051 |
| 5 | 0,9 | 1,40 | 0,002 | 0,004 | 0,3-2,0 | N:50°51'04,3" E:20°38'51,6" | otoczenie stacji bazowej - 400m wzdłuż gł. osi promieniowania - GKP | 0,050 | 0,051 |

„Bez pisemnej zgody Laboratorium niniejsze sprawozdanie nie może być powielane inaczej, jak tylko w całości. Ponadto wyniki dotyczą tylko badanych obiektów przywołanych w niniejszym sprawozdaniu z badań”

| | | | | | | | | | |
|----|------|------|-------|-------|---------|--------------------------------|---|-------|-------|
| 6 | 0,9 | 1,40 | 0,002 | 0,004 | 0,3-2,0 | N:50°51'07,5" E:20°38'51,7" | otoczenie stacji bazowej - 500m wzdłuż gł. osi promieniowania - GKP | 0,050 | 0,051 |
| 7 | 0,7* | 1,24 | 0,002 | 0,003 | 0,3-2,0 | N:50°51'09,5" E:20°38'51,8" | otoczenie stacji bazowej - 562m wzdłuż gł. osi promieniowania - GKP | 0,044 | 0,045 |
| 8 | 0,9 | 1,40 | 0,002 | 0,004 | 0,3-2,0 | N:50°50'50,7" E:20°38'53,4" | otoczenie stacji bazowej - 50m wzdłuż gł. osi promieniowania - GKP | 0,050 | 0,051 |
| 9 | 1,0 | 1,55 | 0,003 | 0,004 | 0,3-2,0 | N:50°50'50,2" E:20°38'55,9" | otoczenie stacji bazowej - 100m wzdłuż gł. osi promieniowania - GKP | 0,055 | 0,056 |
| 10 | 0,9 | 1,40 | 0,002 | 0,004 | 0,3-2,0 | N:50°50'49,6" E:20°38'58,3" | otoczenie stacji bazowej - 150m wzdłuż gł. osi promieniowania - GKP | 0,050 | 0,051 |
| 11 | 0,9 | 1,40 | 0,002 | 0,004 | 0,3-2,0 | N:50°50'47,2" E:20°39'07,8" | otoczenie stacji bazowej - 350m wzdłuż gł. osi promieniowania - GKP | 0,050 | 0,051 |
| 12 | 0,7* | 1,24 | 0,002 | 0,003 | 0,3-2,0 | N:50°50'45,5" E:20°39'15,0" | otoczenie stacji bazowej - 500m wzdłuż gł. osi promieniowania - GKP | 0,044 | 0,045 |
| 13 | 1,2 | 1,86 | 0,003 | 0,005 | 0,3-2,0 | N:50°50'50,1" E:20°38'49,3" | otoczenie stacji bazowej - 50m wzdłuż gł. osi promieniowania - GKP | 0,067 | 0,068 |
| 14 | 0,9 | 1,40 | 0,002 | 0,004 | 0,3-2,0 | N:50°50'47,6" E:20°38'45,9" | otoczenie stacji bazowej - 150m wzdłuż gł. osi promieniowania - GKP | 0,050 | 0,051 |
| 15 | 0,9 | 1,40 | 0,002 | 0,004 | 0,3-2,0 | N:50°50'46,5" E:20°38'44,1" | otoczenie stacji bazowej - 200m wzdłuż gł. osi promieniowania - GKP | 0,050 | 0,051 |
| 16 | 1,0 | 1,55 | 0,003 | 0,004 | 0,3-2,0 | N:50°50'42,3" E:20°38'38,4" | otoczenie stacji bazowej - 375m wzdłuż gł. osi promieniowania - GKP | 0,055 | 0,056 |
| 17 | 0,8 | 1,24 | 0,002 | 0,003 | 0,3-2,0 | N:50°50'41,6" E:20°38'37,1" | otoczenie stacji bazowej - 400m wzdłuż gł. osi promieniowania - GKP | 0,044 | 0,045 |
| 18 | 0,9 | 1,40 | 0,002 | 0,004 | 0,3-2,0 | N:50°50'40,5" E:20°38'35,7" | otoczenie stacji bazowej - 450m wzdłuż gł. osi promieniowania - GKP | 0,050 | 0,051 |
| 19 | 0,7* | 1,24 | 0,002 | 0,003 | 0,3-2,0 | N:50°50'38,2" E:20°38'32,6" | otoczenie stacji bazowej - 540m wzdłuż gł. osi promieniowania - GKP | 0,044 | 0,045 |
| 20 | 0,8 | 1,24 | 0,002 | 0,003 | 0,3-2,0 | N:50°50'51,3" E:20°38'48,4" | otoczenie stacji bazowej - 50m wzdłuż gł. osi promieniowania - GKP | 0,044 | 0,045 |
| 21 | 0,8 | 1,24 | 0,002 | 0,003 | 0,3-2,0 | N:50°50'51,0" E:20°38'45,8" | otoczenie stacji bazowej - 100m wzdłuż gł. osi promieniowania - GKP | 0,044 | 0,045 |
| 22 | 0,8 | 1,24 | 0,002 | 0,003 | 0,3-2,0 | N:50°50'51,3" E:20°38'43,4" | otoczenie stacji bazowej - 150m wzdłuż gł. osi promieniowania - GKP | 0,044 | 0,045 |
| 23 | 0,8 | 1,24 | 0,002 | 0,003 | 0,3-2,0 | N:50°50'51,8" E:20°38'45,3" | otoczenie stacji bazowej - PKP | 0,044 | 0,045 |
| 24 | 1,3 | 2,02 | 0,003 | 0,005 | 0,3-2,0 | N:50°50'46,2" E:20°39'11,7" | otoczenie stacji bazowej - 435m wzdłuż gł. osi promieniowania - GKP | 0,072 | 0,073 |
| A | 0,9 | 1,40 | 0,002 | 0,004 | 0,3-2,0 | N:50°50'46,9" E:20°39'09,0" | Generała Władysława Andersa 56, parter, pomiar w otworze okiennym - DPP | 0,050 | 0,051 |
| B | 0,9 | 1,40 | 0,002 | 0,004 | 0,3-2,0 | N:50°50'46,6" E:20°39'10,7" | Ułańska 33, parter, pomiar w otworze okiennym - DPP | 0,050 | 0,051 |
| C | 0,7* | 1,24 | 0,002 | 0,003 | 0,3-2,0 | N:50°50'45,7" E:20°39'13,6" | Poligonowa 19, parter, pomiar w otworze okiennym - DPP | 0,044 | 0,045 |
| D | 0,7* | 1,24 | 0,002 | 0,003 | 0,3-2,0 | N:50°50'45,2" E:20°39'16,7" | Narwicka 7, parter, pomiar przed posesją - DPP | 0,044 | 0,045 |
| E | 0,8 | 1,24 | 0,002 | 0,003 | 0,3-2,0 | N:50°50'52,3" E:20°38'55,6" | Wojska Polskiego 180D, parter, pomiar przed posesją - DPP | 0,044 | 0,045 |
| F | 0,8 | 1,24 | 0,002 | 0,003 | 0,3-2,0 | N:50°50'58,9" E:20°38'51,8" | Wojska Polskiego 172, parter, pomiar w otworze okiennym - DPP | 0,044 | 0,045 |
| G | 0,8 | 1,24 | 0,002 | 0,003 | 0,3-2,0 | N:50°51'00,9" E:20°38'51,6" | Wojska Polskiego 143, parter, pomiar przed posesją - DPP | 0,044 | 0,045 |
| H | 0,9 | 1,40 | 0,002 | 0,004 | 0,3-2,0 | N:50°51'02,0" E:20°38'51,3" | Wojska Polskiego 141, parter, pomiar w otworze okiennym - DPP | 0,050 | 0,051 |
| I | 0,8 | 1,24 | 0,002 | 0,003 | 0,3-2,0 | N:50°51'06,0" E:20°38'51,6" | Daleszycka 14, parter, pomiar przed posesją - DPP | 0,044 | 0,045 |
| J | 0,7* | 1,24 | 0,002 | 0,003 | 0,3-2,0 | N:50°50'38,7" E:20°38'32,6" | Dąbrowszczaków 4, parter, pomiar przed posesją - DPP | 0,044 | 0,045 |
| K | 0,8 | 1,24 | 0,002 | 0,003 | 0,3-2,0 | | Dąbrowszczaków 5, parter, pomiar przed posesją - DPP | 0,044 | 0,045 |
| | | | | | | N:50°50'37,8" E:20°38'32,2" | Dąbrowszczaków 5, brak mieszkańców | | |

| | | | | | | | | | |
|---|-----|------|-------|-------|---------|--------------------------------|--|---|-------|
| L | 1,0 | 1,55 | 0,003 | 0,004 | 0,3-2,0 | N:50°50'59,0" E:20°38'50,8" | Wojska Polskiego 170, parter, pomiar przed posesją- DPP | 0,055 | 0,056 |
| | | | | | | | | Wojska Polskiego 170, brak mieszkańców | - |
| X | | | | | | | Brak dostępu - budowa | - | |

Wynik pomiaru pole - E [V/m] - maksymalna wartość chwilowa zmierzona w danym pionie pomiarowym (uśredniona na podstawie punktu 11 załącznika do Rozporządzenia Ministra Klimatu z dnia 17 lutego 2020 r. w sprawie sposobów sprawdzania dotrzymania dopuszczalnych poziomów pól elektromagnetycznych w środowisku (Dz.U. 2022 poz. 2630)). Zgodnie z pkt. 7 załącznika do Rozporządzenia Ministra Klimatu z dnia 17 lutego 2020 r. w sprawie sposobów sprawdzania dotrzymania dopuszczalnych poziomów pól elektromagnetycznych w środowisku (Dz.U. 2022 poz. 2630) nie stosuje się poprawek pomiarowych.

Przyjęto najniższą dopuszczalną wartość składowej elektrycznej pola dla objętego pomiarami zakresu częstotliwości $\min(ME_{gr}) = 28 \text{ V/m}$ oraz składowej magnetycznej $\min(MH_{gr}) = 0,073 \text{ A/m}$.

* - wartość zmierzona poniżej zakresu akredytacji. Do obliczeń przyjęto wartość zgodną z dolną granicą akredytowanego zakresu pomiarowego metody.

GKP - główne kierunki pomiarowe

PKP - pomocnicze kierunki pomiarowe

DPP - dodatkowe punkty pomiarowe

PP - pion pomiarowy

U - niepewność pomiarowa rozszerzona, przy poziomie ufności 95%, z uwzględnieniem współczynnika rozszerzenia $k=2$

WM_E - wartość wskaźnikowa poziomu emisji pól elektromagnetycznych dla miejsc dostępnych dla ludności dla składowej elektrycznej pola

WM_H - wartość wskaźnikowa poziomu emisji pól elektromagnetycznych dla miejsc dostępnych dla ludności dla składowej magnetycznej pola

7. Stwierdzenie zgodności

Na podstawie wytycznych podanych w Rozporządzeniu Ministra Zdrowia z dnia 17 grudnia 2019 r. w sprawie dopuszczalnych poziomów pól elektromagnetycznych w środowisku (Dz.U. 2019 poz. 2448) oraz sposobów sprawdzania dotrzymania tych poziomów zgodnie z Rozporządzeniem Ministra Klimatu z dnia 17 lutego 2020 r. w sprawie sposobów sprawdzania dotrzymania dopuszczalnych poziomów pól elektromagnetycznych w środowisku (Dz.U. 2022 poz. 2630), dotyczących źródła wymagań, które muszą być spełnione, w oparciu o zasadę podejmowania decyzji zgodną z pkt. 26 Rozporządzenia Ministra Klimatu z dnia 17 lutego 2020 r. (Dz.U. 2022 poz. 2630), na podstawie wyników pomiarów pól elektromagnetycznych wykonanych w dniu 31.08.2023 i 25.08.2023 stwierdzono, że wszystkie wyniki przeprowadzonych pomiarów w danym obszarze pomiarowym oraz wyznaczone na tej podstawie wskaźniki WME oraz WMH są mniejsze od wartości dopuszczalnych – zgodnie z przepisami wydanymi na podstawie art. 122 ust. 1 ustawy z dnia 27 kwietnia 2001 r. – Prawo ochrony środowiska – załącznikiem do Rozporządzenia Ministra Klimatu i Środowiska z dnia 17 lutego 2020 r. w sprawie sposobów sprawdzania dotrzymania dopuszczalnych poziomów pól elektromagnetycznych w środowisku (Dz.U. 2022 poz. 2630, pkt 26).

8. Oświadczenie.

Wyniki badania odnoszą się wyłącznie do badanego obiektu.

Bez pisemnej zgody sprawozdanie nie może być powielane inaczej, jak tylko w całości.

Uwagi i zastrzeżenia przyjmowane są w formie pisemnej.

9. Spis załączników.

Załącznik 1. Lokalizacja obiektu.

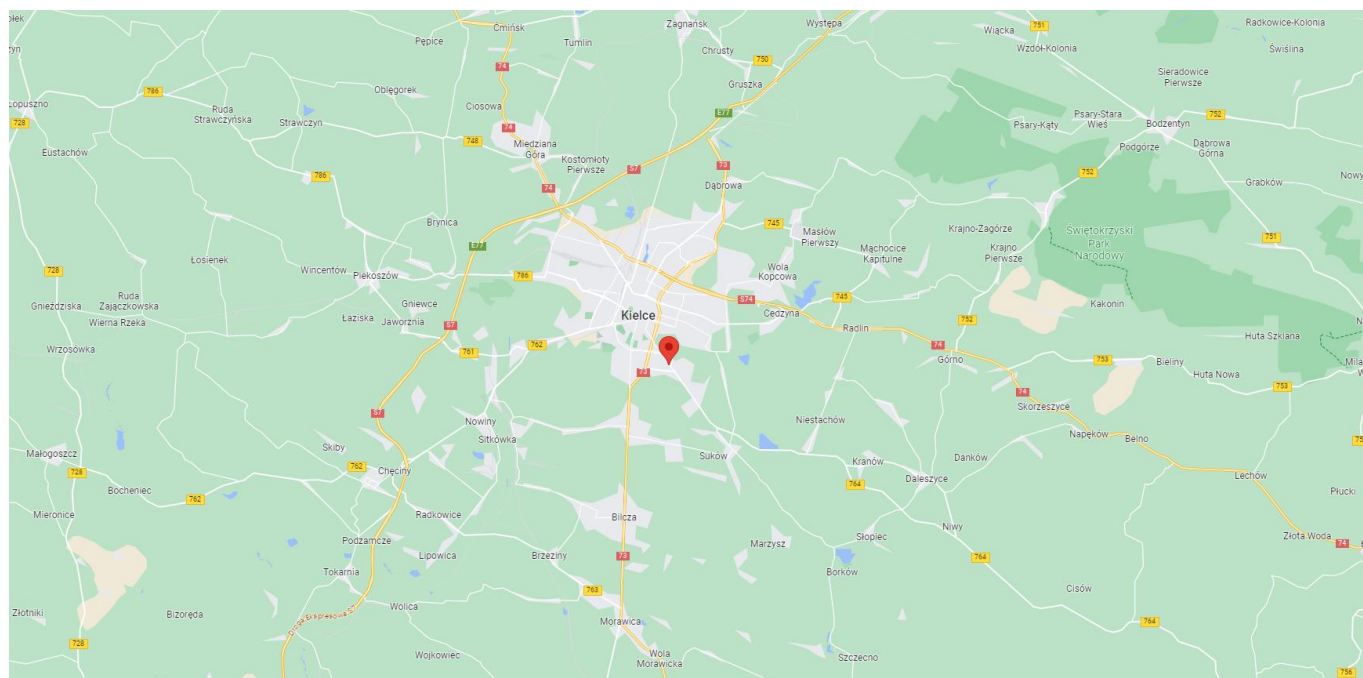
Załącznik 2. Widok pionów pomiarowych

Załącznik 3. Załączniki graficzne

Koniec sprawozdania

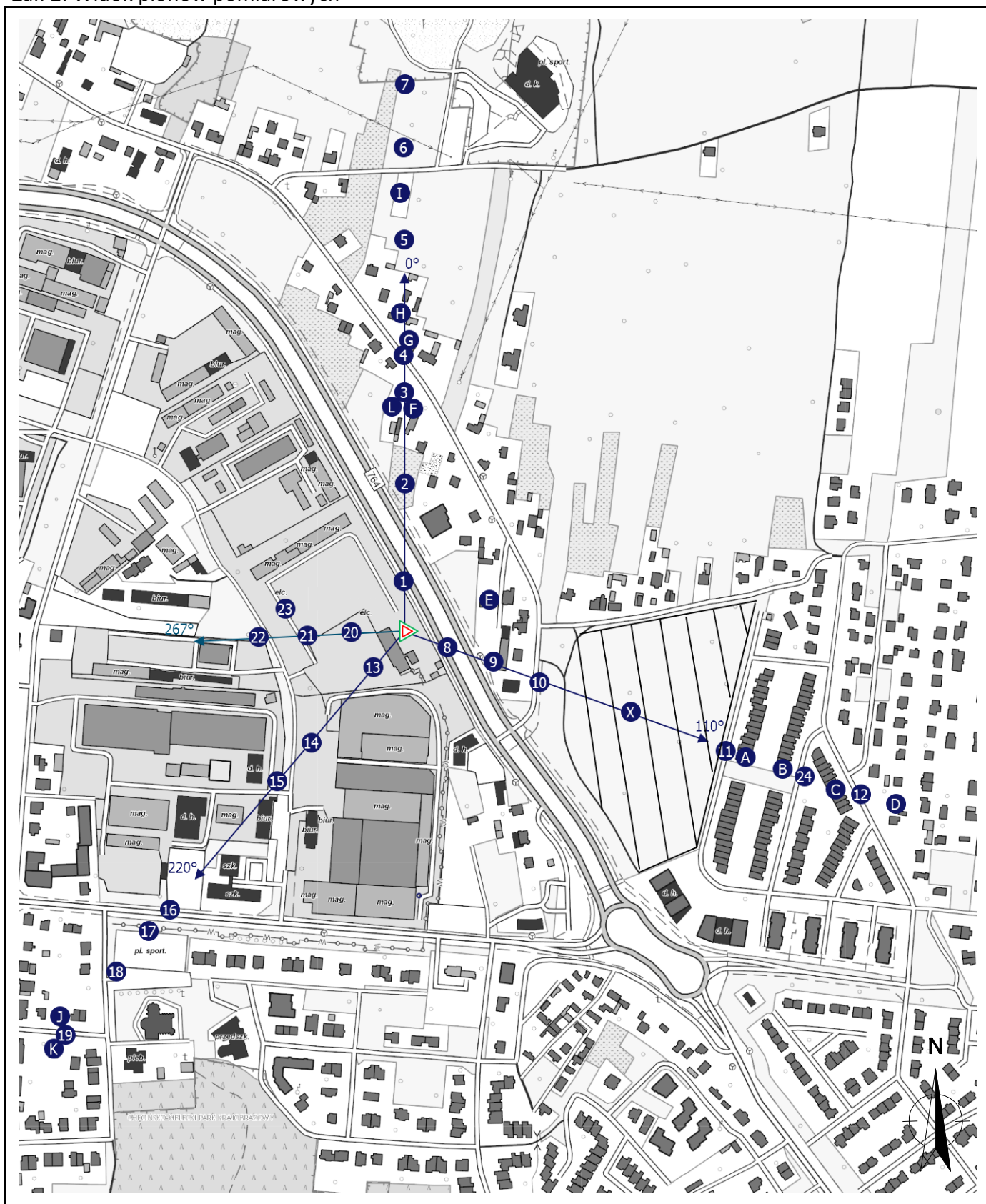
„Bez pisemnej zgody Laboratorium niniejsze sprawozdanie nie może być powielane inaczej, jak tylko w całości. Ponadto wyniki dotyczą tylko badanych obiektów przywołanych w niniejszym sprawozdaniu z badań”

Zał. 1. Lokalizacja obiektu






| Współrzędne geograficzne | |
|--------------------------|---------------|
| długość: | 20°38'51.12"E |
| szerokość: | 50°50'51.39"N |

Załącznik 2. Widok pionów pomiarowych





LEGENDA:

-  inna instalacja telekomunikacyjna
-  instalacja telekomunikacyjna dla której wykonywano pomiar

 brak dostępu

 nr pion pomiaru

 antena sektorowa

 antena radioliowa

Skala:

1:7150



Załącznik 3. Załączniki graficzne.

